

УДК 620.1:539.5:621.91

## ПЛОСКОЕ НАПРЯЖЕННОЕ СОСТОЯНИЕ НЕРАВНОМЕРНО НАТЯНУТЫХ КОЛЬЦЕВЫХ КРУГОВ ДЛЯ РАЗРЕЗАНИЯ МОНОКРИСТАЛЛОВ

© С. С. Ерошин<sup>1</sup>, Р. А. Аветисов<sup>1</sup>, А. И. Хохлов<sup>2</sup>, В. С. Ежлов<sup>2</sup>

*Статья поступила 2 октября 2015 г.*

Решена плоская задача теории упругости для алмазных кругов с внутренней режущей кромкой (АКВР), находящихся в условиях неравномерного натяжения. В качестве расчетной модели взята круглая изотропная пластина, нагруженная по контуру распределенной по гармоническому закону силой  $q(\theta) = q + q_0 \cos(2\theta)$ . С использованием аппарата дифференциальных уравнений найдены напряжения и перемещения пластины. Исходя из норм стандарта на допуск формы отрезных кругов определено аналитическое выражение для допустимой величины неравномерности натяжения  $q_0/q$ . Установлено, что даже при двухпроцентной неравномерности натяжения некруглость формы отрезного круга может превысить заданную стандартом величину. Это вызывает необходимость измерения и контроля неравномерности натяжения отрезных кругов.

**Ключевые слова:** отрезные круги; АКВР; резка монокристаллов; неравномерность натяжения; кольцевая пластина; задача Ламе.

Алмазные отрезные круги с внутренней режущей кромкой (АКВР) — достаточно распространенный инструмент для резки монокристаллов полупроводниковых материалов при изготовлении подложек интегральных схем. Одним из основных факторов, влияющих на точность, качество поверхности пластин и стойкость инструмента, является степень равномерности натяжения отрезного круга. Неравномерность натяжения также приводит к искажению формы режущей кромки, что существенным образом ухудшает качество поверхности отрезаемых пластин.

Согласно данным работы [1] неравномерность натяжения отрезного круга может достигать 20–50 %. Цель данного исследования — определение параметров напряженно-деформированного состояния неравномерно натянутых отрезных кругов.

Натяжение отрезного круга, образованное при помощи  $n$  пар болтов, равномерно распределенных по его контуру и создающих усилие  $q_k$  от каждой пары, можно описать выражением [2]

$$q(\theta) = q + q_0 \cos(2\theta), \quad (1)$$

где  $q = \sum_{k=1}^n q_k$ ;  $q_0 = \sqrt{A^2 + B^2}$ ,  $A = \sum_{k=1}^n q_k \sin \frac{2\pi}{k}$ ,

$B = \sum_{k=1}^n q_k \cos \frac{2\pi}{k}$ . Таким образом, натяжение на внеш-

ней кромке представляет собой суперпозицию постоянного усилия  $q$  и гармонической составляющей с амплитудой  $q_0$ .

<sup>1</sup> Луганский государственный университет им. В. Даля, г. Луганск, Украина; e-mail: sergey.yeroshin@gmail.com

<sup>2</sup> АО «Гиредмет», Москва, Россия; e-mail: yaniki-220@mail.ru

Представим отрезной круг как круглую тонкую пластинку с внешним радиусом  $a$  и центральным отверстием радиусом  $b$ , нагруженную по наружному контуру растягивающими усилиями  $q(\theta)$  (рис. 1).

Для функции  $q = \text{const}$  плоское напряженное состояние определяется формулами Ламе для толстостенных цилиндров [3] (здесь и далее все напряжения и перемещения, вызванные постоянным натяжением  $q = \text{const}$ , будут обозначаться со штрихом):

$$\begin{aligned} \sigma'_r &= \frac{q}{1-\alpha^2} \left( 1 - \frac{b^2}{r^2} \right), \quad \sigma'_\theta = \frac{q}{1-\alpha^2} \left( 1 + \frac{b^2}{r^2} \right), \\ u'(r) &= \frac{q}{E(1-\alpha^2)} \left[ (1-\mu) \frac{r}{b} + (1+\mu) \frac{b}{r} \right]. \end{aligned} \quad (2)$$

Тогда задача сводится к определению механических напряжений и перемещений в кольцевой пластинке при действии на её внешнем контуре лишь неравномерной составляющей усилия (1), а именно  $q(\theta) = q_0 \cos(2\theta)$ .

*Определение напряжений.* Напряжения при неравномерном натяжении отрезного круга необходимо определять для оценки как прочности круга, так и отклонений формы режущей кромки.

Как известно, в отсутствие объемных сил функция напряжения  $\phi$  описывается однородным бигармоническим уравнением

$$\Delta^2 \phi = 0,$$

где  $\Delta$  — оператор Лапласа. В полярных координатах это уравнение имеет вид

$$\left( \frac{\partial^2}{\partial r^2} + \frac{1}{r} \frac{\partial}{\partial r} + \frac{1}{r^2} \frac{\partial^2}{\partial \theta^2} \right) \left( \frac{\partial^2 \phi}{\partial r^2} + \frac{1}{r} \frac{\partial \phi}{\partial r} + \frac{1}{r^2} \frac{\partial^2 \phi}{\partial \theta^2} \right) = 0. \quad (3)$$

Напряжения, как известно, выражаются через функцию напряжения следующим образом:

$$\begin{aligned}\sigma_r(r, \theta) &= \frac{1}{r} \frac{\partial \varphi}{\partial r} + \frac{1}{r^2} \frac{\partial^2 \varphi}{\partial \theta^2}, \quad \sigma_\theta(r, \theta) = \frac{\partial^2 \varphi}{\partial r^2}, \\ \tau_{r\theta}(r, \theta) &= -\frac{\partial}{\partial r} \left( \frac{1}{r} \frac{\partial \varphi}{\partial \theta} \right).\end{aligned}\quad (4)$$

Будем искать решение уравнения (3) со следующими условиями на границе:

$$\begin{aligned}\sigma_r(a, \theta) &= q_0 \cos(2\theta); \quad \sigma_r(b, \theta) = 0; \\ \tau_{r\theta}(a, \theta) &= 0; \quad \tau_{r\theta}(b, \theta) = 0.\end{aligned}\quad (5)$$

Этим граничным условиям удовлетворяет одно из решений Митчелла для полярных координат [3], а именно:

$$\varphi(r, \theta) = f(r)q_0 \cos(2\theta),$$

где  $f(r)$  — некоторая функция полярного радиуса. Подставив  $\varphi(r, \theta)$  в уравнение (3), получим

$$9 \frac{df(r)}{dr} - 9r \frac{d^2 f(r)}{dr^2} f(r) + 2r^2 \frac{d^3 f(r)}{dr^3} f(r) + r^3 \frac{d^4 f(r)}{dr^4} = 0,$$

т.е. нелинейное дифференциальное уравнение, которое сводится к линейному дифференциальному уравнению с постоянными коэффициентами.

Общее решение этого уравнения [3]  $f(r) = Ar^4 + Br^2 + C \frac{1}{r^2} + D$ , тогда функция напряжения

$$\varphi(r, \theta) = \left( Ar^4 + Br^2 + C \frac{1}{r^2} + D \right) \cos(2\theta). \quad (6)$$

Отметим, что такого же вида функцию  $\varphi$  имеет задача о распределении напряжений в безграничной

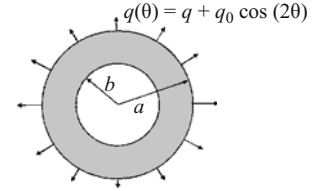


Рис. 1. Расчетная схема кольцевой пластиинки с неравномерной по контуру нагрузкой

пластиинке с отверстием, равномерно растянутой на бесконечности [3].

Подставив выражение (6) в уравнения (4), получим все напряжения:

$$\begin{cases} \sigma_r(r, \theta) = -2 \left( B + \frac{3C}{r^4} + \frac{2D}{r^2} \right) \cos(2\theta); \\ \sigma_\theta(r, \theta) = 2 \left( 6Ar^2 + B + \frac{3C}{r^4} \right) \cos(2\theta); \\ \tau_{r\theta}(r, \theta) = - \left( 2D \frac{1}{r^2} - 2B - 6Ar^2 + \frac{6C}{r^4} \right) \sin(2\theta). \end{cases} \quad (7)$$

С учетом граничных условий (5) выражения (7) переходят в систему уравнений:

$$\begin{cases} 0 + Bb^2 + 3C + 2Db^2 = 0; \\ 0 + Ba^2 + 3C + 2Da^2 = -\frac{a^4}{2} q_0; \\ 3a^2 A + B - \frac{3}{a^4} C - \frac{1}{a^2} D = 0; \\ 3b^2 A + B - \frac{3}{b^4} C - \frac{1}{b^2} D = 0. \end{cases}$$

Получили линейную систему четвертого порядка относительно констант интегрирования. Решая эту систему, находим:

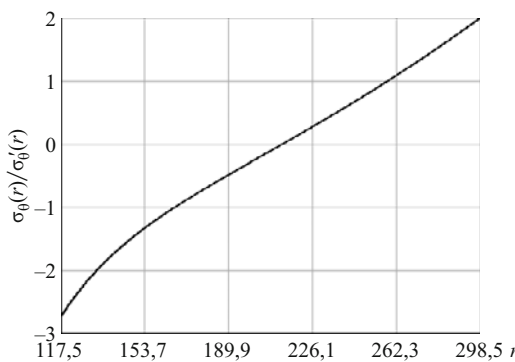
$$\begin{cases} A = q_0 \frac{a^4 (a^2 + 3b^2)}{2(3a^8 - 9a^6b^2 + 9a^4b^4 - 3a^2b^6)}; \\ B = -q_0 \frac{a^4 (a^4 + a^2b^2 + 2b^4)}{2(a^8 - 3a^6b^2 + 3a^4b^4 - a^2b^6)}; \\ C = -q_0 \frac{a^4 (3a^2b^4 + b^6)}{2(3a^6 - 9a^4b^2 + 9a^2b^4 - 3b^6)}; \\ D = q_0 \frac{a^4 (a^4b^4 + a^2b^6)(2a^4 + a^2b^2 + b^4)}{2(a^6b^2 + a^4b^4)(a^6 - 3a^4b^2 + 3a^2b^4 - b^6)}. \end{cases} \quad (7*)$$

Подставляя найденные постоянные интегрирования в (7) и введя обозначение  $\alpha = b/a$ , определим окончательно все напряжения:

$$\begin{aligned}\sigma_r(r, \theta) &= Q \left[ (1 + \alpha^2 + 2\alpha^4) - 2(2 + \alpha^2 + \alpha^4) \frac{b^2}{r^2} + (3 + \alpha^2) \frac{b^4}{r^4} \right] \cos(2\theta), \\ \sigma_\theta(r, \theta) &= Q \left[ -(1 + \alpha^2 + 2\alpha^4) + 2(1 + 3\alpha^2) \frac{r^2}{a^2} - (3 + \alpha^2) \frac{b^4}{r^4} \right] \cos(2\theta), \\ \tau_{r\theta}(r, \theta) &= Q \left[ -(1 + \alpha^2 + 2\alpha^4) + (1 + 3\alpha^2) \frac{r^2}{a^2} + (3 + \alpha^2) \frac{b^4}{r^4} - (2 + \alpha^2 + \alpha^4) \frac{b^2}{r^2} \right] \sin(2\theta),\end{aligned}\quad (8)$$

где  $Q = q_0/(1 - 3\alpha^2 + 3\alpha^4 - \alpha^6)$ .

Для расчета прочности материалов особый интерес представляют окружные напряжения  $\sigma'_\theta(r)$ , рассчитанные по второй из формул (2) решения Ламе. Полагая в (8)  $\theta = 0$ , построим график отношения амплитуд окружных на-



**Рис. 2.** Зависимость отношения окружных напряжений от радиуса круга

напряжений  $\sigma_0(r)$  и  $\sigma'_0(r)$  как функции радиуса круга АКВР 597 × 235 со стопроцентной относительной неравномерностью натяжения:  $q_0/q = 1$ . Параметры круга:  $a = 298,5$  мм;  $b = 117,5$  мм,  $\alpha = 0,39$ . График функции  $\sigma_0(r)/\sigma'_0(r)$  представлен на рис. 2.

Таким образом, если, например, неравномерность натяжения составляет 10 %, то окружные напряжения на режущей кромке диска возрастают примерно в 1,3 раза по сравнению с соответствующими напряжениями при равномерном натяжении, что может стать причиной превышения предела текучести и скорого выхода из строя инструмента.

*Определение перемещений.* Перемещения можно выразить через напряжения формулами

$$\begin{cases} E \frac{du}{dr} = \sigma_r - \mu \sigma_\theta; \\ E \left( \frac{dv}{d\theta} + u \right) = \sigma_\theta - \mu \sigma_r; \\ G \left[ \frac{1}{r} \frac{du}{d\theta} + r \frac{d}{dr} \left( \frac{v}{r} \right) \right] = \tau_{r\theta}. \end{cases} \quad (9)$$

Подставим в первое уравнение (9) напряжения из (7):

$$E \frac{du}{dr} = -2 \left[ \left( B + \frac{3C}{r^4} + \frac{2D}{r^2} \right) + \mu \left( 6Ar^2 + B + \frac{3C}{r^4} \right) \right] \cos(2\theta).$$

После интегрирования по  $r$  запишем

$$u = \frac{2\cos(2\theta)}{Er^3} \left( C - Br^4 + 2Dr^2 + C\mu - 2A\mu r^6 - B\mu r^4 \right) + \frac{\zeta(\theta)}{E}, \quad (10)$$

где  $\zeta(\theta)$  — функция, зависящая только от  $\theta$ .

Подставив (10) и напряжения (7) во второе уравнение (9), получим выражение, которое решим относительно производной  $dv/d\theta$  и проинтегрируем по  $\theta$ :

$$v = \frac{\sin(2\theta)}{Er^3} [2Ar^6(3+\mu) + 2Br^4(1+\mu) + 2C(1+\mu) - 2Dr^2(1-\mu)] - \int \frac{\zeta(\theta)}{E} d\theta + \frac{\eta(r)}{E}, \quad (11)$$

где  $\eta(r)$  — функция, зависящая только от  $r$ .

Подставим перемещения (11) и (10), а также напряжение  $\tau_{r\theta}$  из (7) в последнее уравнение (9) и после дифференцирования получим

$$\begin{aligned} & r^3 \int \zeta(\theta) d\theta + r^3 \frac{d\zeta(\theta)}{d\theta} - r^3 \eta(r) + r^4 \frac{d\eta(r)}{dr} + \\ & + 4(1+\mu)(3Ar^6 + Br^4 - 3C - Dr^2) \sin(2\theta) - \\ & - 2 \frac{E}{G} (3Ar^6 + Br^4 - 3C - Dr^2) \sin(2\theta) = 0. \end{aligned}$$

После математических упрощений и сокращений получим интегро-дифференциальное уравнение

$$r^3 \int \zeta(\theta) d\theta + r^3 \frac{d\zeta(\theta)}{d\theta} - r^3 \eta(r) + r^4 \frac{d\eta(r)}{dr} = 0.$$

Перепишем его в более удобном для анализа виде:

$$\int \zeta(\theta) d\theta + \frac{d\zeta(\theta)}{d\theta} = \eta(r) - r \frac{d\eta(r)}{dr}. \quad (12)$$

Дифференцируя последнее выражение по  $\theta$ , получим

$$\frac{d^2 \zeta(\theta)}{d\theta^2} + \zeta(\theta) = 0.$$

Общее решение этого уравнения:  $\zeta(\theta) = A_1 \cos \theta + B_1 \sin \theta$ . Поставим это решение в уравнение (10):

$$\begin{aligned} u(r, \theta) = & \frac{2\cos(2\theta)}{Er^3} [C(1+\mu) - B(1+\mu)r^4 + \\ & + 2Dr^2 - 2A\mu r^6] + \frac{1}{E} (A_1 \cos \theta + B_1 \sin \theta). \end{aligned}$$

Примем выполнение условий периодичности решения на контуре пластиинки:

$$\begin{cases} u(r, 0) = u(r, \pi), \\ u\left(r, \frac{\pi}{2}\right) = u\left(r, \frac{3\pi}{2}\right). \end{cases}$$

Первое условие дает  $A_1 = 0$ , второе условие —  $B_1 = 0$ , тогда

$$\zeta(\theta) \equiv 0$$

и для радиального перемещения получим следующее общее выражение:

$$\begin{aligned} u(r, \theta) = & 2 \frac{\cos(2\theta)}{Er^3} \times \\ & \times [C(1+\mu) - B(1+\mu)r^4 + 2Dr^2 - 2A\mu r^6]. \end{aligned} \quad (13)$$

Поскольку  $\zeta(\theta) \equiv 0$ , то уравнение (12) примет вид

$$r \frac{d\eta(r)}{dr} - \eta(r) = 0.$$

Это уравнение с разделяющимися переменными и общим решением

$$\eta(r) = C_1 r.$$

Подставив это решение в выражение (11) с учетом  $\zeta(\theta) \equiv 0$ , получим

$$v(r, \theta) = \frac{\sin(2\theta)}{Er^3} [2Ar^6(3+\mu) + 2Br^4(1+\mu) + C(1+\mu) - 2Dr^2(1-\mu)] + C_1 r. \quad (14)$$

Условия периодичности решения (14) на контуре пластинки выполняются при любом  $C_1$ .

Выражения (13) и (14) дают общее решение задачи о перемещениях круглой пластинки с отверстием, на внешнем контуре которой действует гармоническая нагрузка.

Для свободной пластинки коэффициенты  $A, B, C, D$ , фигурирующие в формулах (13) и (14), найдены в (7\*). Подставляя выражения для коэффициентов в (13), после преобразования получим формулу радиальных перемещений свободной пластинки с круглым отверстием:

$$u(r, \theta) = \frac{2q_0 \cos(2\theta)}{E(1-\alpha^2)^3} \times \\ \times \left[ -\frac{r^3}{3a^2} (1+3\alpha^2)\mu + \frac{r}{2} (1+\alpha^2 + 2\alpha^4)(1+\mu) + \right. \\ \left. + \frac{b^2}{r} (2+\alpha^2 + \alpha^4) - \frac{b^4}{6r^3} (3+\alpha^2)(1+\mu) \right]. \quad (15)$$

Из (15) определим амплитуду радиального перемещения на внутренней кромке:

$$u_{\text{вн. max}} = u(b, 0) = 4b \frac{q_0}{E} \frac{1+2\alpha^2/3+\alpha^4}{(1-\alpha^2)^3}. \quad (16)$$

Радиальное биение  $\Delta$  режущей кромки находится как разность максимального и минимального расстояний точек кромки до оси. Для неравномерно растянутого диска радиальное биение определяется выражением (16). Действительно,  $\Delta = D_{\max} - D_{\min} = (u'_{\text{вн}} + u_{\text{вн. max}}) - -u'_{\text{вн}} = u_{\text{вн. max}}$ , где  $u'_{\text{вн}}$  — радиальное перемещение кромки, вызванное постоянной составляющей растягивающего натяжения.

ГОСТ 26004–83 накладывает определенные ограничения на величины как относительного увеличения внутреннего диаметра, так и радиального биения:  $u'_{\text{вн}}/b \leq 0,008$ ;  $\Delta \leq 0,05$  мм.

Перемещение на внутренней кромке  $u'_{\text{вн}}$  от постоянной внешней нагрузки нетрудно получить из последней формулы решения Ламе (2), приняв в ней  $r = b$ :

$$u'_{\text{вн}} = \frac{q}{E} \frac{2b}{1-\alpha^2}. \quad (17)$$

Марка стали, из которой изготовлен корпус (ГОСТ 26004–83), — сталь 12Х18Н9 с пределом прочности  $\sigma_b = 1700$  МПа и модулем упругости  $E = 2 \cdot 10^5$  МПа. Тогда требование  $u'_{\text{вн}}/b \leq 0,008$  совпадает с тем условием, когда величина окружных напряжений  $\sigma'_{\theta}$  на внутренней кромке не должна превышать 90 % предела прочности стали  $\sigma_b$ . Действительно, согласно формуле Ламе (2) на внутренней режущей кромке ( $r = b$ ) окружные напряжения

$$\sigma'_{\theta, \text{вн}} = \frac{2q}{1-\alpha^2}. \quad (18)$$

Подставляя (18) в (17) и принимая  $\sigma'_{\theta, \text{вн}} = 0,9\sigma_b$ , для величины  $u'_{\text{вн}}/b$  получим:

$$\frac{u'_{\text{вн}}}{b} = \frac{\sigma'_{\theta, \text{вн}}}{E} = \frac{0,9\sigma_b}{E} = 0,008.$$

Отметим, что в работе [4] на основе исследования отрезного круга на жесткость, прочность и стойкость к статическим и динамическим нагрузкам к величине усилия  $q$  предъявлено это же требование: окружные напряжения  $\sigma'_{\theta, \text{вн}}$  на режущей кромке, вызванные силой  $q$ , должны стремиться к значению  $0,9\sigma_b$ .

Требуя выполнения равенства  $u'_{\text{вн}}/b = 0,008$  в выражении (17), запишем условие для внешней постоянной нагрузки  $q$ :

$$q = 0,004(1-\alpha^2)E. \quad (19)$$

Удовлетворяя неравенству  $u_{\text{вн. max}} \leq 0,05$  мм в выражении (16), получаем еще одно условие — для амплитуды  $q_0$  неравномерной нагрузки:

$$q_0 \leq \frac{0,05}{4b} \frac{(1-\alpha^2)^3}{1+2\alpha^2/3+\alpha^4} E. \quad (20)$$

Поделив неравенство (20) на равенство (19), найдем максимально допустимое значение относительной неравномерности растягивающего усилия:

$$\frac{q_0}{q} \leq \left[ \frac{q_0}{q} \right] = \frac{3}{b} \frac{(1-\alpha^2)^2}{1+2\alpha^2/3+\alpha^4}, \quad (21)$$

где размер  $b$  берется в миллиметрах. Например, для отрезного круга марки АКВР 597 × 235 с параметрами  $\alpha = 0,39$  и  $b = 117,5$  мм согласно (18) максимально допустимое значение относительной неравномерности натяжения  $[q_0/q] = 0,016$ , т.е. допускаемая неравномерность натяжения составит всего 1,6 %.

Таким образом, получено решение плоской задачи упругости для кольцевой пластинки при ее неравномерном натяжении по внешнему контуру. Показано, что при оптимальной величине натяжения

(когда  $\sigma_\theta = 0,9\sigma_B$ ) и типичных значениях параметра  $\alpha = 0,3 \dots 0,4$ , даже при минимальной неравномерности натяжения (меньше 2 %), радиальное биение превышает нормы, установленные стандартом.

При неравномерности натяжения более 5 % окружные напряжения  $\sigma'_\theta$  превысят предел текучести материала, что приведет к необходимости измерения и учета неравномерности при натяжении отрезных кругов.

## ЛИТЕРАТУРА

1. Запорожский В. П., Лапшинов Б. А. Обработка полупроводниковых материалов. — М.: Высшая школа, 1988. — 184 с.
2. Таращанский М. Т. Повышение точности резки полупроводниковых монокристаллов за счет уменьшения неравномерности натяжения корпуса отрезного круга: дис. ... канд. техн. наук. — Луганск, 2006. — 201 с.
3. Тимошенко С. П., Гудьер Дж. Теория упругости. — М.: Наука, 1975. — 576 с.
4. Ерошин С. С. Исследование технологических факторов процесса алмазной резки слитков полупроводниковых материалов на пластины: дис. ... канд. техн. наук. — М., 1975. — 195 с.
5. Патратьев А. Г. Исследование процесса разрезания слитков германия и кремния алмазными дисками с внутренней режущей кромкой в полупроводниковом производстве: дис. ... канд. техн. наук. — М., 1967. — 208 с.
6. Писаренко Г. С. и др. Справочник по сопротивлению материалов. — Киев: Наукова думка, 1988. — 736 с.

## REFERENCES

1. Zaporozhskii V. P., Lapshinov B. A. Obrabotka poluprovodnikovykh materialov [Processing of semiconductor materials]. — Moscow: Vysshaya shkola, 1988. — 184 p. [in Russian].
2. Tarashchanskii M. T. Povyshenie tochnosti rezki poluprovodnikovykh monokristallov za schet umen'sheniya neravnomernosti natyazheniya korpusa otreznogo kruga [Improving accuracy of cutting the semiconductor single crystals by reducing the non-uniformity of the tension body cut-off wheel]. Candiadte's Thesis. — Lugansk, 2006. — 201 p. [in Russian].
3. Timoshenko S. P., Goodier J. N. Theory of elasticity. — McGraw-Hill, 1951. — 506 p.
4. Eroshin S. S. Issledovanie tekhnologicheskikh faktorov protsessa almaznoi rezki slitkov poluprovodnikovykh materialov na plastiny [Investigation of technological factors of the cutting of diamond ingots of semiconductor materials on a plate]. Candiadte's Thesis. — Moscow, 1975. — 195 p. [in Russian].
5. Patrat'ev A. G. Issledovanie protsessa razrezaniya slitkov germaniya i kremniya almaznymi diskami s vnutrennei rezhushchei kromkoi v poluprovodnikovom proizvodstve [Investigation of the process of cutting ingots of silicon and germanium using diamond blades with the inner cutting edge in semiconductor production]. Candiadte's Thesis. — Moscow, 1967. — 208 p. [in Russian].
6. Pisarenko G. S. et al. Spravochnik po soprotivleniyu materialov [Guide to the strength of materials]. — Kiev: Naukova dumka, 1988. — 736 p. [in Russian].